

See discussions, stats, and author profiles for this publication at: <https://www.researchgate.net/publication/278242468>

Некоторые задачи стабилизации тел с внутренними степенями свободы

Article · February 1983

CITATIONS

0

READS

13

2 authors:



Dmytro Leshchenko

Odessa State Academy of Civil Engineering a...

214 PUBLICATIONS 221 CITATIONS

[SEE PROFILE](#)



Leonid D Akulenko

Russian Academy of Sciences

533 PUBLICATIONS 1,122 CITATIONS

[SEE PROFILE](#)

Some of the authors of this publication are also working on these related projects:



Evolution of rotations of a rigid body close to the Lagrange case under the action of nonstationary torque of forces [View project](#)



Homogenization in optimal control problems [View project](#)

ках.— Изв. АН ССР. Механика твердого тела, 1971, № 5, с. 44—48. 6. Новиков П. Я. Определение собственных частот колесанного электроприводателя, связанных с вязкой упругостью подшипников.— Изв. АН ССР. Механика и машиностроение, 1961, № 6, с. 84—90.

Поступила в редакцию 04.06.81
рассматривалась в работах [2, 3].

СИСТЕМЫ ВИБРОЗАЩИТЫ И УПРАВЛЕНИЯ ГИРОКОПИЧЕСКИМИ СИСТЕМАМИ

УДК 531.313:532.58

Л. Д. АКУЛЕНКО, канд. физ.-мат. наук
Институт проблем механики АН ССР,
Д. Д. ЛЕЩЕНКО, канд. физ.-мат. наук
Одесский технологический институт холдинговой промышленности

НЕКОТОРЫЕ ЗАДАЧИ СТАБИЛИЗАЦИИ ТЕЛ С ВНУТРЕННИМИ СТЕПЕНЯМИ СВОБОДЫ

Исследованы некоторые случаи торможения возмущенных вращательных движений твердого тела под действием управляемого момента, ограниченного по модулю.

1. Рассмотрим управляемое движение динамически симметричного твердого тела со сферической полостью, заполненной жидкостью большей вязкости. Предположим, что вектор управляющего момента относительно центра инерции ограничен сферой и имеет вид

$$M_i = bu_i \quad (i = 1, 2, 3), \quad |u| \leq 1 \quad (b \geq b_0 \geq 0). \quad (1)$$

Уравнения управляемого движения тела, следя [1], записем так:

$$\dot{Ap} + (C - A)qr = bu_1 + \frac{\rho P}{vA^2} C(A - C)pr^2, \\ A\dot{q} + (A - C)rp = bu_2 + \frac{\rho P}{vA^2} C(A - C)qr^2, \\ Cr = bu_3 + \frac{\rho P}{vA} (C - A)r(p^2 + q^2). \quad (2)$$

Здесь ρ — плотность жидкости, C — экваториальный ортогональный тензор второго ранга в случае сферической полости имеет вид $P_{ij} = P_{0ij}$, где δ_{ij} — символ Кронекера, $a = \frac{8\pi a^7}{525}$.

Математическая задача оптимального по быстродействию торможения вращений тела ставится так:

$$\dot{\varphi}(T) = 0, \quad T \rightarrow \min, \quad |u| \leq 1. \quad (3)$$

Требуется найти оптимальный закон управления, оптимальную fazо-
ную траекторию и минимальное значение функционала. Отметим, что
аналогичные задачи оптимальной по быстродействию стабилизации
твердого тела без учета полости, заполненной вязкой жидкостью,
рассматривались в работах [2, 3].

Поставленная задача торможения решается на основе достаточных
условий оптимальности метода динамического программирования

[4]. Используя функциональное неравенство Шварца [5] для \vec{G} , находим, что алгоритм оптимального управления имеет довольно простой вид: $\vec{u} = -\vec{G}\vec{G}^{-1}$, а модуль кинетического момента G в соответствии с этим законом убывает до нуля за конечное время T^* :

$$G(t, t_0, G_0) = G_0 - \int_{t_0}^t b(\tau) d\tau, \quad \int_{t_0}^T b(t) dt = G_0. \quad (4)$$

Согласно (1) $b \geq b_0 > 0$, поэтому корень второго уравнения (4) $T^* = T(G_0, t_0)$ существует и единствен, причем $T^* \leq t_0 + G_0 b_0^{-1}$. Непосредственно дифференцированием устанавливаем, что $T(G, t)$ — функция Беллмана задачи оптимального управления (1)—(3). Заметим, что частный случай движения твердого тела без полости с жидкостью при $b = \text{const}$ был изучен в статье [6].

Подстановка известного выражения для функции G в третье уравнение (2) приводит к нелинейному уравнению относительно r :

$$\dot{r} = -r[bG^{-1} + \rho P v^{-1} A^{-3} C^{-1} (A - C)(G^2 - C^2 r^2)]. \quad (5)$$

Заменой переменной $r = GR$, где R — неизвестная функция, уравнение (5) преобразуем к виду

$$\dot{R}^2 = 2\rho P v^{-1} A^{-3} C^{-1} (C - A)G^2 R^2 (1 - C^2 R^2). \quad (6)$$

Согласно известной формуле, определяющей проекции вектора G на главные центральные оси инерции, $Cr = G \cos \theta$ или с учетом замены переменных $Cr = \cos \theta$. В результате интегрирования уравнения (6) находим в явной форме зависимость угла нутации θ от времени t

$$\ln |\operatorname{tg} \theta| \operatorname{tg}^{-1} \theta_0 | = \frac{\rho P (A - C)}{v A^3 C} \int_{t_0}^t G^2(\tau) d\tau. \quad (7)$$

Пусть $b^* = \text{const}$, тогда можно найти зависимость времени t от угла нутации θ в виде ($t_0 = 0$):

$$\tau = 1 - (1 + \sigma_1 \operatorname{Intg} \theta_0 \operatorname{tg}^{-1} \theta)^{1/3} \quad (0 \leq \tau \leq 1), \quad (8)$$

$$T^* = \frac{G_0}{b}, \quad \sigma_1 = \frac{3v A^3 C b}{\rho P (A - C) G_0^3} \quad (-\infty < \sigma_1 < \infty).$$

На рис. 1 приведены зависимости угла нутации $\theta(\tau)$ при начальном значении $\theta_0 = \frac{\pi}{3}$ и различных значениях σ_1 . Анализируя их, можно сделать вывод о том, что при $\sigma_1 \rightarrow \pm 0$ величина $\theta(\tau)$ стремится к прямому углу и нулю соответственно. Это обстоятельство связано с тем фактом, что время t неограниченно «скжимается» (τ — медленное, t — быстрое время). При $\sigma_1 \rightarrow \pm \infty$ $\theta(\tau) \rightarrow 0_0$, так как за время торможения T^* вращающий твердого тела угол нутации θ не успевает существенно измениться. Аналогичный характер изменения угла нутации $\theta(\tau)$ описан в работе [2], где рассматривалось управляемое движение динамически симметричного твердого тела и подвижной массы, соединенных вязкоупругой связью. Однако в случае торможения тела с жидкостью величина $\theta(\tau)$ при $\sigma_1 \rightarrow \pm 0$ стремится к прямому углу и нулю быстрее, а при $\sigma_1 \rightarrow \pm \infty$ $\theta(\tau) \rightarrow 0_0$ медленнее, чем в случае торможения тела и подвижной массы, соединенных вязкоупругим образом. Различная скорость стремления $\theta(\tau)$ к нулю и $\frac{\pi}{2}$ объясняется тем, что в первом случае возмущающий момент представляет собой полином третьей степени относительно угловой скорости ω [1], а во втором — полином, содержащий четвертые и пятые степени ω [7].

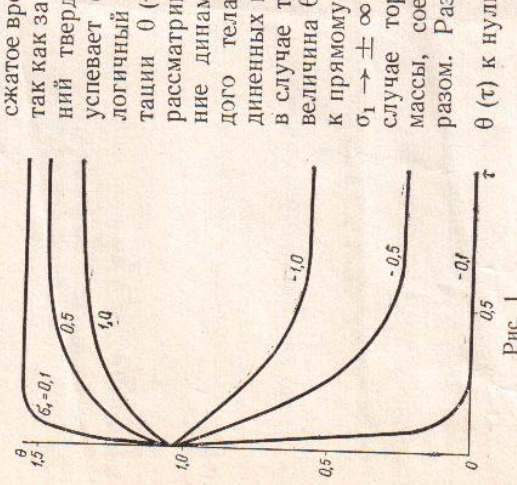


Рис. 1

В пределе при $b \rightarrow 0$ формулы (7), (8) совпадают с полученными в работе [1] для задачи пассивного движения. Теперь на основе известной зависимости угла нутации θ от времени простым пересчетом по формулам (4), (7) и $C\dot{r} = G \cos \theta$ находим зависимость осевой угловой скорости r от времени $r(t) = G(t) \cos \theta(t)$ ($0 \leq t \leq T^*$).

Если эта функция построена, то из (2) получаем

$$p = p_0 G G_0^{-1} \exp \alpha(t) \cos \psi(t), \quad q = -q_0 G G_0^{-1} \exp \alpha(t) \sin \psi(t), \quad (9)$$

$$\alpha(t) = \frac{p_0 P}{VA^3} C(A-C) \int_{t_0}^t r^2(\tau) d\tau, \quad \psi(t) = d \int_{t_0}^t r(\tau) d\tau, \quad d = 1 - CA^{-1}.$$

Как следует из (9), $\omega_1 = \omega_1 G G_0^{-1} \exp \alpha$, причем $A^2 \omega_1^2 + C^2 r^2 = G^2$, $\omega_1 = (\rho^2 + q^2)^{1/2}$.

Подстановка найденных функций в выражение алгоритма управления u^* позволяет определить оптимальное программное управление.

2. Исследуем управляемое движение несимметричного твердого тела со сферической полостью, заполненной жидкостью большей вязкости. Уравнения управляемого движения согласно [1] имеют вид

$$\begin{aligned} \dot{A}p + (C-B)qr &= bu_1 + \frac{p_0 P}{VA^3} p [C/A - C](A+C-B)r^2 + \\ &+ B(A-B)(A+B-C)q^2; \end{aligned} \quad (10)$$

остальные уравнения получаем из (10) циклической перестановкой букв A, B, C и p, q, r в левой части и во вторых слагаемых правой части. Первые слагаемые правой части находим из (10) циклической перестановкой индексов. Все предложение и обозначения п. 1 остаются в силе.

Нетрудно показать, что алгоритм оптимального управления имеет довольно простой вид: $u^* = -\vec{G}\vec{G}^{-1}$, а модуль кинетического момента G в соответствии с этим законом убывает до нуля за конечное время T^* (см.(4)). Вычисляя производную по времени от кинетической энергии

$$H = \frac{1}{2} (Ap^2 + Bq^2 + Cr^2), \quad (11)$$

и учитывая уравнения движения (10), получаем

$$\dot{H} = - \left\{ \frac{2bH}{G} + \frac{p_0 P}{VA^3} [(A+C-B)(A-C)p^2 r^2 + (A+B-C) \times \right. \\ \left. \times (A-B)p^2 q^2 + (B+C-A)(B-C)q^2 r^2] \right\}. \quad (12)$$

Примем для определенности $A > B > C$ и рассмотрим движение при условии $2HA \geq G^2 \geq 2HB$. Введем величину

$$k^2 = \frac{(B-C)(2HA-G^2)}{(A-B)(G^2-2HC)} \quad (0 \leq k \leq 1), \quad (13)$$

представляющую собой при невозмущенном движении тела постоянную — модуль эллиптических функций.

При помощи формул (11), (12) можно выразить производную $\frac{dk^2}{dt}$ через p, q, r, G , функции P, r затем выразим через G, H , q из (12), H — через k^2 и G из формулы (13). Окончательно получим

$$\frac{dk^2}{dt} = v^{-1} f(G, k^2, q). \quad (14)$$

Функция k^2 является медленно меняющейся переменной, так как $v^{-1} \ll 1$, когда полость заполнена жидкостью большой вязкости. Отметим, что явная зависимость k^2 от b исчезает. Поэтому в первом при-

ближении метода усреднения [8] можно подставить в (14) вместо $q(0)$ решение, определяющее невозмущенное движение Эйлера — Пуанкаре [9],

$$q = \sqrt{\frac{2H_A - G^2}{B(A - B)}} \sin \left[\frac{t - t_0}{\tau_1} 4K(k), k \right]. \quad (15)$$

Здесь τ_1 — период движения, зависящий от H , G ; t_0 — произвольная и усредненная. Подставим (15) в (14), вновь используем H с помощью (13) со. В результате, используя формулу (14) по периоду τ_1 движения Эйлера — Пуанкаре функций, получим усредненное дифференциальное уравнение

$$\frac{dk^2}{d\xi} = (1 - \varkappa)(1 - k^2) - [(1 - \varkappa) + (1 + \varkappa)k^2] \frac{E(k)}{K(k)}, \quad (16)$$

$$\varkappa = \frac{3B[(A^2 + C^2) - B(A + C)]}{(A - C)[B(A + C - B) + 2AC]}, \quad |\varkappa| \leqslant 1,$$

$$\xi = \int_{t_*}^t \frac{d\tau}{N},$$

$$N = \frac{3vA^2B^2C^2}{\rho P G^2(t)(A - C)[B(A + C - B) + 2AC]}.$$

Здесь $K(k)$, $E(k)$ — полные эллиптические интегралы первого и второго рода. Произвольная постоянная t_* выбрана так, чтобы момент $I = t^2$ соответствовал переходу через сепаратрису, т. е. $k = 1$, $2HB = G^2$ при $\xi = 0$.

Уравнение (16) описывает усредненное движение конца вектора кинетического момента \vec{G} на сфере радиуса G и совпадает с уравнением пассивного движения [1]. Явная зависимость от b отсутствует. Однако при пас-сивном движении кинетический момент сохранял постоянное значение, а при выбранном законе торможения он убывает до нуля за конечное время T_* . В результате интегрирования (16) получим

$$\begin{aligned} & \int_{k_0^2}^{k^2} \frac{(1 - \varkappa)(1 - \bar{k}^2) - [(1 - \varkappa) + (1 + \varkappa)\bar{k}^2] \frac{E(\bar{k})}{K(\bar{k})}}{9vbA^2B^2C^2} d\bar{k}^2 = \\ & = \frac{\rho P(A - C)[B(A + C - B) + 2AC]}{9vbA^2B^2C^2} (G_0^3 - G^3); \end{aligned} \quad (17)$$

При малых k^2 , соответствующих движению твердого тела, близким к вращением вокруг оси наибольшего момента инерции A , правую часть уравнений (16) и (17) можно упростить, используя разложение полных эллиптических интегралов в ряды по k^2 . В этом случае (17) интегрируется в явном виде и асимптотическое решение для $b = \text{const}$ после ра-

да преобразований записывается следующим образом:

$$\sigma_2 = \frac{18vA^2B^2C^2b}{G_0^3(3 + \varkappa)\rho P(A - C)[B(A + C - B) + 2AC]} (0 \leqslant \tau \leqslant 1), \quad (-\infty < \sigma_2 < \infty). \quad (18)$$

На рис. 2 приведены зависимости $k^2(\tau)$ при начальном значении $k_0^2 = 0, 1$ и различных значениях σ_2 . При $\sigma_2 \rightarrow \pm 0$ величина $k^2(\tau)$ стремится к нулю и единице соответственно. При $\sigma_2 \rightarrow \pm \infty$ величина $k^2(\tau)$ остается неизменной. Так как за время торможения T^* вращений твердого тела k^2 не успевает существенно измениться. В пределе при $b \rightarrow 0$ формулы (18) совпадают с полученными в работе [1] при решении задачи пассивного движения.

Для величин $k^2 \sim 1$, соответствующих движениям твердого тела вблизи сепаратрисы, правую часть (16) можно записать, применяя асимптотические разложения, применимые для $E(k)$, $K(k)$. В результате разложения и последующего интегрирования (17) после несложных преобразований получим

$$\begin{aligned} \tau = 1 - \left\{ 1 + \sigma_3 \left[\frac{1}{2}(k^2 - k_0^2) + (1 - k_0^2) \ln \frac{4}{\sqrt{1 - k_0^2}} - \right. \right. \\ \left. \left. - (1 - k^2) \ln \frac{4}{\sqrt{1 - k^2}} \right] \right\}^{1/3}, \\ \sigma_3 = \frac{9vA^2B^2C^2b}{2G_0^3\rho P(A - C)[B(A + C - B) + 2AC]} (-\infty < \sigma_3 < \infty). \end{aligned} \quad (19)$$

Расчеты по формуле (19) показывают, что при $\sigma_3 \rightarrow \pm 0$ $k^2(\tau)$ стремится к нулю и единице соответственно, а при $\sigma_3 \rightarrow \pm \infty$ $k^2(\tau) \rightarrow k_0^2$. k^2 , сохраняется. При $t \leqslant t_*$ выполняются неравенства $2HB \geqslant G^2 \geqslant 2HC$. Для получения решения в этом случае нужно просто поменять места буквы A и C во всех формулах п. 2.

3. Рассмотрим управляемое движение динамически симметричного твердого тела и подвижной точечный массы m , соединенных упругой связью при наличии квадратичного трения с коэффициентом μ . Предполагаем, что точка O_1 крепления находится на оси симметрии, а свободные движения точки m , вызванные начальными отклонениями, за-такнут значительно быстрее, чем тело совершит оборот [4]. Уравнения, управляемого движения тела приводим к виду

$$p - dq_r = bA^{-1}u_i + Sqr + Qpr^6,$$

$$\dot{q} + dpr = bA^{-1}u_2 - Spr + Qqr^6,$$

$$\dot{r} = bC^{-1}u_3 - QA^2C^{-2}\omega_1^2r^5.$$

Здесь $S = mp^2\Omega^{-2}CA^{-1}G^2$, $d = 1 - CA^{-1}$, $G^2 = A^2\omega_1^2 + C^2r^2$, $\omega_1 = (p^2 + q^2)^{1/2}$, $Q = mp^3\Lambda\Omega^{-3}CA^{-5}d|d|_{0,1}$, $\Omega^2 = c/m$, c — коэффициент жесткости упругой связи, $\lambda = \mu/m = \Delta\Omega^2$, ρ — радиус-вектор точки O_1 .

Поставленная задача оптимального по быстродействию торможения решается на основе достаточных условий оптимальности метода динамического программирования. Используя процедуру, описанную в п. 1, находим, что алгоритм оптимального управления имеет вид $\vec{u}^* = -\vec{G}G^{-1}$, а модуль кинетического момента убывает до нуля за конченое время (см. (4)).

Подставив выражение для G в третье уравнение (20), получим следующее уравнение относительно r :

$$\dot{r} = -r[bG^{-1} + \alpha r^4(G^2 - C^2r^2)^{3/2}]. \quad (21)$$

Здесь $\alpha = mp^3\Lambda\Omega^{-3}C^2A^{-6}d|d|$, где R — неизвестная функция, уравнение (21) приводим к виду

$$\dot{R}^2 = -2\alpha G^2 R^6 (1 - C^2 R^2)^{3/2}.$$

Следуя п. 1, положим $CR = \cos \theta$. В результате интегрирования уравнения (22) находим в явной форме зависимость угла нутации θ от времени t :

$$\begin{aligned} & 2 \sec^4 \theta \operatorname{cosec} \theta + 5(\sec^2 \theta - 3) \operatorname{cosec} \theta - 2 \sec^4 \theta_0 \operatorname{cosec} \theta_0 - \\ & - 5(\sec^2 \theta_0 - 3) \operatorname{cosec} \theta_0 + 15 \ln \left| \operatorname{tg} \left(\frac{\pi}{4} + \frac{\theta}{2} \right) \operatorname{tg}^{-1} \left(\frac{\pi}{4} + \frac{\theta_0}{2} \right) \right| = \\ & = 8\alpha C^{-4} \int_{t_0}^t G^7(\tau) d\tau. \end{aligned} \quad (23)$$

Пусть $b = \text{const}$, тогда удается найти зависимость времени t от угла нутации θ в виде ($t_0 = 0$)

$$\begin{aligned} \tau = 1 - & \left\{ 1 + \sigma_4 \left[2 \sec^4 \theta_0 \operatorname{cosec} \theta_0 + 5(\sec^2 \theta_0 - 3) \operatorname{cosec} \theta_0 - \right. \right. \\ & \left. \left. - 2 \sec^4 \theta \operatorname{cosec} \theta - 5(\sec^2 \theta - 3) \operatorname{cosec} \theta + 15 \ln \left| \operatorname{tg} \left(\frac{\pi}{4} + \frac{\theta_0}{2} \right) \right| \right] \times \right. \end{aligned}$$

$$\sigma_4 = \frac{bC^2 A^6 Q^3}{mp^4 \Lambda d |d| G_0^8}, \quad (-\infty < \sigma_4 < \infty).$$

На рис. 3 приведены зависимости $\theta(t)$ при начальных значениях $\theta_0 = \frac{\pi}{3}$, $\frac{\pi}{6}$ и различных значениях σ_4 . При $\sigma_4 \rightarrow \pm 0$ величина $\theta(t)$ стремится к прямому углу и нулю соответственно, а при $\sigma_4 \rightarrow \pm \infty$ $\theta(t) \rightarrow 0$.

В пределе при $b \rightarrow 0$ формулы (23), (24) совпадают с полученными в работе [4]. Теперь на основе известной зависимости угла нутации θ от времени t пересчитем по формулам (21), (24) или (23) и $Cr = G \cos \theta$ находим зависимость проекции угловой скорости на ось симметрии r от времени t : $r(t) = G(t) \cos \theta(t)$ ($0 \leq t \leq T^*$). Если эта функция построена, то из (20) получаем

$$p = p_0 GG_0^{-1} \exp \beta(t) \cos \eta(t), \quad q = -q_0 GG_0^{-1} \exp \beta(t) \sin \eta(t),$$

$$\beta(t) = Q \int_{t_0}^t r^6(\tau) d\tau, \quad \eta(t) = \int_{t_0}^t (d + S(\tau)) r(\tau) d\tau,$$

$$S(t) = mp^2 \Omega^{-2} CA^{-4} G^2(t), \quad (25)$$

как следует из (25), $\omega_1 = \omega_{10} GG_0^{-1} \exp \alpha$, причем $A^2 \omega_1^2 + C^2 r^2 = G^2$. Подстановка найденных функций, определяющих оптимальную фазовую траекторию, в выражение алгоритма управления u^* позволяет синтезировать оптимальное программное управление телом.

1. Черновуско Ф. Л. Движение твердого тела с полостью, заполненной вязкой жидкостью, при малых числах Рейнольдса. — Журн. вычисл. математики и мат. физики, 1965, 5, № 6, с. 1049—1070. 2. Абдулеко Л. Д., Лещенко Д. Н. Некоторые задачи движения твердого тела с подвижной массой. — Изв. АН СССР. Механика твердого тела, 1978, № 5, с. 29—34. 3. Черноуско Ф. Л., Акуличко Г. Л., Соколов Б. Н. Управление колебанием. М., 1980. 383 с. 4. Болатинский В. Г., Математические методы оптимального управления. М., 1969. 408 с. 5. Атанс М., Фараб П. Оптимальное управление. М., 1968. 764 с. 6. Смольников Б. А. Обобщение Эйлерова случайного движения твердого тела. — Приклад. математика и механика, 1967, 31, вып. 4, с. 735—736. 7. Черновуско Ф. Л. О движении твердого тела с подвижной массами. — Изв. АН СССР. Механика твердого тела, 1973, № 4, с. 33—44. 8. Водосов В. М., Мордухай Б. И. Метод осреднения в теории нелинейных колебательных систем. 1971. 507 с. 9. Ландау Л. Д., Дишиц Е. М. Теоретическая физика. Механика. М., 1973. 207 с.

Поступила в редакцию 11.11.81

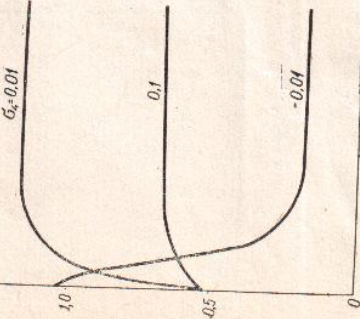


Рис. 3